

## Using Box-Jenkins Methodology for Forecasting labor Productivity in commercial bank of Syria – Jabla branch

Dr. Al-Rifai Abdul Hadi\*  
Ola esber\*\*

(Received 14 / 9 / 2017. Accepted 21 / 1 / 2018)

### □ ABSTRACT □

The objective of this research is to analyze the time series of labor productivity in the Commercial Bank of Syria for a period of ninety days. The pattern of change in productivity is identified in order to construct a model that helps predict the values of productivity.

So we used Box Jenkins models in this study by using statistical methods Such as the ADF, PP KPSS and Q stat tests to detect that the series is Non stationary, but when the first difference was taken, the series becomes stationary, and confirmed by the same previous tests.

A series of time series models were then filtered based on Autocorrelation (ACF) and Partial Autocorrelation(PACF).

After selecting between several candidate models, by applying some statistical methods such as MSE and BIC, we selected the best time series model ARIMA (1,1,1).

The significance of its coefficients was determined using the Ljung box test, and the productivity of the work was predicted for 30 working days.

**Keywords:** Box-jenkins, laborproductivity, autocorrelation function, partial autocorrelation function.

---

\*Professor- Department Of Statistics & Programming- Faculty Of Economics- Tishreen University- Lattakia- Syria.

\*\*Postgraduate Student – Department Of Statistics & Programming- Faculty Of Economics– Tishreen University – Lattakia – Syria.

## استخدام نماذج box-jenkins في تقدير إنتاجية العمل في المصرف التجاري السوري - فرع جبلة -

الدكتور عبد الهادي الرفاعي\*

علا اسبير\*\*

(تاريخ الإيداع 14 / 9 / 2017. قَبْلُ للنشر في 21 / 1 / 2018)

### □ ملخص □

يهدف هذا البحث إلى تحليل السلسلة الزمنية لإنتاجية العمل في المصرف التجاري السوري عن فترة تسعين يوماً، حيث يتم التعرف على نمط تغير الانتاجية من أجل بناء نموذج يساعد على التنبؤ بقيم الانتاجية، وقد تم الاعتماد على منهجية بوكس وجينكنز من خلال تطبيق الأساليب والاختبارات الإحصائية المتعلقة بالسلاسل الزمنية مثل اختبار ADF , PP, KPSS و Q-stat لتكشف أن السلسلة غير مستقرة، ولتصبح السلسلة مستقرة تم أخذ الفرق الأول وتم التأكد من استقرارها باعتماد الاختبارات السابقة نفسها، وبعدها تم ترشيح مجموعة من النماذج المعبرة عن السلسلة الزمنية بالاعتماد على شكل انتشار دالتي الارتباط الذاتي ACF والارتباط الذاتي الجزئي PACF، وبعد المفاضلة بين عدة نماذج مرشحة تم اختيار أفضلها بتطبيق بعض المعايير الإحصائية مثل MSE , BIC، تم اختيار أفضل نموذج معبر عن السلسلة الزمنية وهو النموذج  $ARIMA(1,1,1)$ . وتم التأكد من معنوية معاملاته باستخدام اختبار LjungBox، وبعدها تم التنبؤ بإنتاجية العمل لمدة ثلاثين يوم عمل قادمة.

الكلمات المفتاحية: بوكس وجينكنز، إنتاجية العمل، الارتباط الذاتي، الارتباط الذاتي الجزئي.

\*أستاذ - قسم الإحصاء والبرمجة - كلية الاقتصاد - جامعة تشرين - اللاذقية - سورية.

\*\*طالبة دكتوراه - قسم الإحصاء والبرمجة - اختصاص الإحصاء - كلية الاقتصاد - جامعة تشرين - اللاذقية - سورية .

**مقدمة:**

يعد موضوع انتاجية العمل من المواضيع الهامة جداً، نظراً للدور الذي تلعبه الانتاجية في زيادة الدخل القومي، ورفع مستوى المعيشة، وتعد أحد أهم المؤشرات التي تعكس فعالية استخدام الموارد المادية والبشرية. ويعد أسلوب بوكس جينكنز من أهم الأساليب الاحصائية المستخدمة حديثاً في تحليل السلاسل الزمنية، وعملية التنبؤ والتقدير في مختلف المجالات الاقتصادية. ونظراً لأهمية الدور الذي يلعبه المصرف التجاري السوري في القطاع المصرفي في سورية تم تناول انتاجية العمل فيه كموضوع للدراسة.

**مشكلة البحث:**

تمحورت مشكلة الدراسة حول عدم القدرة على تقدير انتاجية العمل في فرع جبلة للمصرف التجاري السوري بالاعتماد على الأساليب الاحصائية الحديثة، حاله كحال بقية فروع المصرف التجاري في سورية، فلا يمكن أن تجد ضمن خطة عمل الفرع أي مؤشر يدل على التنبؤ بإنتاجية العمل لأيام أو لأشهر أو لأعوام لاحقة بناء على بيانات أيام عمل سابقة، وإنما ستجد خطة العمل (إن وجدت) قائمة على العشوائية المطلقة، ومن هنا جاء الاعتماد على نماذج بوكس وجينكنز لحل هذه المشكلة.

**أهمية البحث وأهدافه:**

تتبع أهمية البحث من الاهتمام بتقدير انتاجية العمل في المصرف التجاري السوري لتكون أهم بند في خطة عمله، ولابد من الاعتماد على مجموعة من الأدوات الاحصائية الحديثة التي تساعدنا في تقدير هذه الانتاجية، والتي من أهمها أساليب بوكس وجينكنز لتحليل السلاسل الزمنية الاقتصادية، وذلك من خلال استخدام هذه الأساليب في عمليات اتخاذ القرار ورسم السياسات المستقبلية للقطاعات الاقتصادية المختلفة. وقد تمحورت أهداف البحث حول:

تقدير انتاجية العمل في فرع جبلة للمصرف التجاري السوري لمدة ثلاثين يوم عمل قادم بناءً على بيانات تسعين يوم عمل سابقة بالاعتماد على نماذج بوكس وجينكنز، من خلال تحديد النموذج الأمثل من نماذج بوكس وجينكنز التي تنتبأ بأفضل انتاجية للعمل في المصرف.

**فرضيات البحث:**

- 1) إن انتاجية العمل في المصرف التجاري السوري- فرع جبلة لمدة تسعين يوماً تنتصف بالاستقرار.
- 2) امكانية استخدام طرق تنبؤ حديثة مثل طريقة بوكس وجينكنز للتنبؤ بإنتاجية العمل في المصرف التجاري.
- 3) نموذج بوكس وجينكنز (ARIMA(1.1.1) هو نموذج معنوي.
- 4) معاملات النموذج (ARIMA(1.1.1) المعبر عن انتاجية العمل في فرع جبلة هي معاملات معنوية.

**منهجية البحث:**

لإجراء هذه الدراسة قمنا بإتباع المنهج الوصفي التحليلي في الجانب النظري حيث تم التعريف بأحد أهم الأساليب الخاصة بتحليل السلاسل الزمنية وهو أسلوب بوكس وجينكنز، ومنهج دراسة الحالة في الجانب التطبيقي،

حيث تمت دراسة تطبيقية على بيانات واقعية عن إنتاجية العمل في المصرف التجاري السوري فرع جبلة، للوصول إلى نموذج رياضي قادر على التنبؤ بإنتاجيه العمل المستقبلية لفترات لاحقة.

### مجتمع وعينة البحث:

يضم مجتمع البحث في هذه الدراسة إنتاجية العمل للمصرف التجاري السوري في فرع جبلة لـ 241 يوم عمل في العام، ومن خلال التواصل مع إدارة المصرف استطعنا الحصول على عينة من إنتاجية العمل تشمل 90 يوم عمل متتالي بدءاً من تاريخ 2/1/2017

### الدراسات السابقة:

#### 1- الدراسة الأولى : ( الناصر و الحسان ، 2016 )

دراسة خديجة عبد الزهرة الناصر و أحمد جاسم الحسان بعنوان ( استخدام نماذج بوكس -جينكنز للتنبؤ بكميات الاشعاع الشمسي في العراق للمدة 1996- 2018)، مجلة البحوث الجغرافية، العراق، سنة 2016 م يتناول البحث دراسة وتحليل السلاسل الزمنية للإشعاع الشمسي في ستة محطات مناخية في العراق وهي (الموصل وكركوك و بغداد والرطبة والناصرية والبصرة ) للمدة من 1971 - 1995 واختيار نموذج للتنبؤ يتناسب مع طبيعة البيانات المتوفرة لغاية 2018، ودراسة لمركبات السلسلة الزمنية لتحديد اتجاهها واحتساب مقدار تغيرها. وتم التوصل الى النتائج التالية:

- 1) يوجد انخفاض واضح للقيم الفعلية الشهرية للإشعاع الشمسي لكافة المحطات المعتمدة بالدراسة.
- 2) يوجد انخفاض في الاشعاع الشمسي للقيم التنبؤية لغاية عام 2018.
- 3) اتصفت السلسلة الزمنية السنوية بالاستقرارية بدرجة أكبر من السلاسل الشهرية.

#### 2- الدراسة الثانية : (نقار و العواد، 2011)

دراسة عثمان نقار و منذر العواد، بعنوان (منهجية Box - Jenkins في تحليل السلاسل الزمنية والتنبؤ دراسة تطبيقية على أعداد تلاميذ الصف الأول من التعليم الأساسي في سورية) مجلة جامعة دمشق للعلوم الاقتصادية والقانونية، المجلد 27، العدد الثالث، عام 2011.

تناولت الدراسة امكانية تطبيق الاسلوب الحديث في تحليل السلاسل الزمنية في التنبؤ بأعداد التلاميذ، ووضع نموذج قياسي للتنبؤ بأعداد التلاميذ في الصف الأول، والتنبؤ بأعداد التلاميذ المتوقع انتسابهم إلى الصف الأول. وقد تم التوصل إلى النتائج التالية:

- 1) تشكل سلسلة أعداد المنتسبين إلى الصف الأول سياقاً عشوائياً غير مستقر، أظهر اختبار Dickey and Fuller وجود جذر للوحدة، وقد أخذ مرشح الفرق الأولي لجعلها مستقرة.

2) النموذج الأفضل للتنبؤ بأعداد المنتسبين إلى الصف الأول هو  $ARIMA(0,1,1)$

#### 3- الدراسة الثالثة: (Saeid Amiri, 2009)

دراسة أجنبية لسعيد الأميري بعنوان (The Svm Approach For Box-Jenkins Models) (أسلوب SVM لنماذج بوكس وجينكنز)، مجلة REVSTAT الاحصائية، المجلد 7 ، العدد 1، عام 2009. تناول هذا البحث دراسة أداء نماذج SVM بالمقارنة مع نماذج بوكس وجينكنز، وخلصت الدراسة إلى أن نموذج بوكس وجينكنز لا يزال واحداً من أكثر نماذج تحليل السلسلة الزمنية إلا أن هناك العديد من العيوب الرئيسية

لأن نماذج بوكس وجينكنز تبنى على أساس الاستقرارية وهذا أمر غير كاف، على سبيل المثال نمذجة عملية الجذر باستخدام نهج ARMA مستحيلة، وتظهر نتائج هذه الدراسة أن نماذج ARMA يمكن التعبير عنها باستخدام أسلوب SVM، ولذلك فقد خلص إلى أن استخدام SVM لنموذج ARMA هو الأفضل وينبغي النظر فيها، وعلاوة على ذلك فإن استخدام مؤشر الوقت كمتغير تفسيري في النمذجة سيحسن دقة النتائج، ويوضح أداء SVM في تحليل السلاسل الزمنية، وتبين النتائج أيضاً أن SVM على أساس Laplaciankernel يعمل بشكل جيد جداً لعملية جذر الوحدة.

### تعريف إنتاجية العمل:

إنتاجية العمل هي محصلة الانتاج في الساعة للعامل الواحد، أي عدد العمليات التي يستطيع العامل انجازها في الساعة الواحدة، وقد تم تسجيل عدد العمليات التي ينجزها جميع العاملين في اليوم الواحد، وبعدها تم احتساب وسطي عدد العمليات المنجزة للعامل الواحد، وقد استمرت هذه العملية مدة تسعين يوماً متتالياً من عام 2017 بدءاً من يوم 2017/1/2.

### ماهية نماذج بوكس وجينكنز

نماذج بوكس وجينكنز هي نماذج اكتشفها العالمان بوكس وجينكنز (العاني، 2003) في العام 1970 وتعرف بنماذج الانحدار الذاتي والمتوسطات المتحركة المتكاملة Auto-Regressive Integrated Moving Average Models (ARIMA) وتعد هذه النماذج امتداداً لأسلوب الانحدار وتعتبر جميعها نماذجاً خطية، وتستخدم في تحليل السلاسل الزمنية، ويمكن التمييز بينها كما يلي:

#### 1) نماذج الانحدار الذاتي

يرمز لها بالرمز AR(p) وتأخذ الشكل الرياضي التالي: (العاني، 2003)

$$Y_t = \phi_0 + \phi_1 y_{t-1} + \phi_2 y_{t-2} + \dots + \phi_p y_{t-p} + e_t \quad (1)$$

حيث  $\phi$  تشير إلى معاملات الانحدار الذاتي.

P يشير إلى رتبة الانحدار الذاتي.

$e_t$  حد الخطأ العشوائي.

#### 2) نماذج المتوسطات المتحركة

يرمز لها بالرمز MA (q) وتأخذ الشكل الرياضي التالي:

$$Y_t = \theta_0 + e_t - \theta_1 e_{t-1} - \theta_2 e_{t-2} - \dots - \theta_q e_{t-q} \quad (2)$$

المتوسطات المتحركة.

q يشير إلى رتبة نموذج المتوسطات المتحركة.

$e_{t-1}$  تشير إلى القيم الماضية لحد الخطأ العشوائي.

#### 3) نماذج الانحدار الذاتي والمتوسطات المتحركة

ويرمز لها بالرمز ARMA(p,q) وتأخذ الشكل الرياضي التالي: (أحمد و يونس، 2004)

$$Y_t = \delta + \phi_0 + \phi_1 y_{t-1} + \phi_2 y_{t-2} + \dots + \phi_p y_{t-p} + \theta_0 - \theta_1 e_{t-1} - \theta_2 e_{t-2} - \dots - \theta_q e_{t-q} \quad (3)$$

#### 4) نماذج الانحدار الذاتي والمتوسطات المتحركة التكاملية

ويرمز لها بالرمز ARIMA (p,d,q) ويشير الحرف I الى درجة التكامل integrated ، وتستخدم عندما تكون السلسلة الزمنية غير مستقرة وتأخذ نفس الشكل الرياضي الخاص بالنماذج المختلطة مع الأخذ بعين الاعتبار عدد درجات الفروق (d) التي يجب أخذها حتى تصبح السلسلة مستقرة. ويمكن كتابتها بالشكل التالي:

$$\Phi(\beta)\Delta^d Y_t = \delta + \theta(\beta)e_t \quad (4)$$

حيث:

$\Phi(\beta)$  يمثل عامل الانحدار الذاتي.

$\theta(\beta)$  يمثل عامل المتوسطات المتحركة.

$\Delta^d$  يمثل عدد الفروق.

$e_t$  يمثل الأخطاء العشوائية.

#### شروط تطبيق نماذج بوكس جنكينز

1) التأكد من استقرار السلسلة الزمنية أو استقرارها، و نقول عن سلسلة زمنية أنها مستقرة عندما تتغير قيمها في حدود ثابتة طول الفترة الزمنية، أي حدود تغير قيم السلسلة لا يعتمد على الزمن فقط، ويمكن التعرف على ذلك من خلال الرسم البياني. (التلباني، 2015)

2) التأكد من ثبات تباين الأخطاء، وهذا يعني أن التباين في كل مجموعات البيانات يجب أن يكون متساوي وغير مرتبط بالفترة الزمنية، وفي حال عدم توافر هذا الشرط لابد من معالجة البيانات ليستقر تباينها.

3) التأكد من عدم وجود نمط محدد للأخطاء، أي أن الأخطاء عشوائية (العشعوش والعريبي، 2015)

4) التأكد من عدم ظهور قيم متطرفة أو شاذة.

5) التأكد من عدم وجود انحراف في السلسلة يؤدي إلى قسمتها إلى أجزاء غير متجانسة تشوه النموذج المشتق

6) التأكد من عدم وجود تذبذبات موسمية في الأخطاء.

#### المرحلة التحضيرية لاستخدام نماذج بوكس وجنكنز

لتحليل السلسلة الزمنية باستخدام نماذج بوكس وجنكنز لابد من القيام ببعض الخطوات الاستباقية قبل البدء ببناء أحد نماذج بوكس جنكينز المناسبة نذكر هذه الخطوات على النحو التالي :

1) رسم السلسلة الزمنية الأصلية للتأكد من استقرارها، ورسم دالة الارتباط الذاتي، فعندما تكون السلسلة مستقرة تهبط دالة الارتباط الذاتي إلى الصفر بعد فترة الإزاحة الثانية أو الثالثة، أما عندما تكون السلسلة غير مستقرة تكون دالة الارتباط الذاتي مختلفة معنوياً عن الصفر لعدة فترات زمنية.

2) التأكد من حالة عدم الاستقرار باستخدام مجموعة من الاختبارات: (التلباني، 2015)

أ- كاختبار Ljung-Box، الذي يعرف باختبار Q stat

ب- واختبار Phillips-Perron الذي يرمز له بالرمز pp

ت- واختبار kpss

ث- واختبار جذر الوحدة لـ Dickey-Fuller وهو ما يعرف باختبار ديكي فولر العادي DF،

حيث يعتمد هذا الاختبار على ثلاث معادلات:

بدون وجود ثابت وبدون متجه زمني

$$\Delta X_t = \alpha_1 X_{t-1} \quad (5)$$

مع وجود ثابت

$$\Delta X_t = \alpha_0 + \alpha_1 X_{t-1} \quad (6)$$

مع وجود ثابت ومتجه زمني

$$\Delta X_t = \alpha_0 + \alpha_1 X_{t-1} + e_t \quad (7)$$

حيث:

$\Delta$  معامل الفروق

$e_t$  ضججة البيضاء

حيث يتحقق هذا الاختبار من فرضية العدم التي تقول أن السلسلة غير مستقرة وبالتالي يوجد جذر وحدة ،

بحيث يقارن بين القيم الجدولية لديكي فيلر والقيم الاحصائية للاختبار التالي  $t = \frac{\alpha_1}{SE(\alpha_1)}$ .

ج- واختبار ديكي فولر المطور من قبل ADF 1991 MacKinnon (أحمد ويونس، 2004) ويعتمد على:

$$\Delta X_t = \alpha_1 X_{t-1} + \sum_{j=1}^p \beta_j \Delta X_{t-j} + e_t \quad (8)$$

$$\Delta X_t = \alpha_0 + \alpha_1 X_{t-1} + \sum_{j=1}^p \beta_j \Delta X_{t-j} + e_t \quad (9)$$

$$\Delta X_t = \alpha_0 + \alpha_1 X_{t-1} + \sum_{j=1}^p \beta_j \Delta X_{t-j} + \delta_t + e_t \quad (10)$$

3) معالجة حالة عدم الاستقرار بتحويل بيانات السلسلة الزمنية غير المستقرة في المتوسط باستخدام طريقة

الفروق النظامية regular differences وهي عملية يتم فيها احتساب الفروق بين القيم المتتالية لمرة واحدة، وإذا

استمرت حالة عدم الاستقرار يتم تكرار طريقة الفروق مرة ثانية كحد أقصى، ويرمز لعامل الفرق بالرمز ( $\Delta$ ) و ( $\Delta^d$ )

الفرق من الدرجة d.

ويأخذ الفرق الأول (عندما d=1) الصيغة التالية: (طعمه، 2012)

$$\Delta z_t = z_t - z_{t-1} \quad (11)$$

ويأخذ الفرق الثاني (عندما d=2) الصيغة التالية:

$$\Delta^2 z_t = \Delta z_t - \Delta z_{t-1} = z_t - z_{t-1} - (z_{t-1} - z_{t-2}) = z_t - 2z_{t-1} + z_{t-2} \quad (12)$$

4) تحويل السلسلة الزمنية غير المستقرة في التباين باستخدام أحد طرق التحويل المعروفة رياضياً كاللوجاريتم أو

المقلوب، لتصبح قيم سلسلة البواقي Residuals قريبة من الصفر، أي تصبح سلسلة عشوائية نقية أو ما يعرف

بالضججة البيضاء White Noise.

## مراحل بناء نموذج بوكس وجينكنز

- (1) مرحلة تشخيص النموذج، حيث يتم رسم السلسلة الأصلية  $Y_t$  ودالة الارتباط الذاتي ACF ودالة الارتباط الذاتي الجزئي PACF، فإذا كان شكل دالة الارتباط الذاتي ACF ضمن حدود فترة الثقة 95% فإن معامل الارتباط الذاتي لا يختلف جوهرياً عن الصفر، وتكون السلسلة مستقرة. أما إذا كان شكل انتشار ACF خارج حدود فترة الثقة 95% عند عدة فجوات زمنية فإن معامل الارتباط الذاتي يختلف جوهرياً عن الصفر، وتكون السلسلة غير مستقرة وتحتاج الى إحدى طرق التسكين التي ذكرت سابقاً. وللتأكد من سكون السلسلة نستخدم مجموعة من الاختبارات الإحصائية مثل PP, ADF, KPSS. والتي تم الإشارة إليها في المرحلة التحضيرية.
- (2) مرحلة اختيار رتبة النموذج واختبارها أي اختيار كل من  $P$  و  $q$ ، وذلك باستخدام الخواص النظرية لدالة الارتباط الذاتي ودالة الارتباط الذاتي الجزئي، فعندما تهبط دالة الارتباط الذاتي بشكل أسي إلى الصفر تتحدد رتبة النموذج AR من خلال عدد الارتباطات الذاتية الجزئية التي تختلف معنوياً عن الصفر. أما عندما تهبط الارتباطات الذاتية الجزئية بشكل أسي إلى الصفر تتحدد رتبة النموذج MA من عدد الارتباطات الذاتية ذات الدلالة الإحصائية. أما إذا هبطت الارتباطات الذاتية والارتباطات الذاتية الجزئية كلاهما بشكل أسي إلى الصفر تتحدد رتبة النموذج ARMA وفق الجدول التالي:

الجدول (1) يبين اختيار نموذج بوكس جينكنز بناءً على شكل دالتي الارتباط الذاتي والذاتي الجزئي

شكل دالة **PACF	شكل دالة *ACF	الصيغة الرياضية	النموذج المرشح
صفرية بعد $Q_1$	تتناقص هندسياً من $P_1$	$Y_t = \phi_0 + \phi_1 y_{t-1} + e_t$	AR(1,d,0)
صفرية بعد $Q_2$	تتناقص هندسياً من $P_2$	$Y_t = \phi_0 + \phi_1 y_{t-1} + \phi_2 y_{t-2} + e_t$	AR(2,d,0)
صفرية بعد $Q_q$	تتناقص هندسياً من $P_p$	$Y_t = \phi_0 + \phi_1 y_{t-1} + \phi_2 y_{t-2} + \dots + \phi_p y_{t-p} + e_t$	AR(P,d,0)
تتناقص بعد $Q_1$	صفرية بعد $P_1$	$Y_t = \theta_0 + e_t - \theta_1 e_{t-1}$	MA(0,d,1)
تتناقص بعد $Q_2$	صفرية بعد $P_2$	$Y_t = \theta_0 + e_t - \theta_1 e_{t-1} - \theta_2 e_{t-2}$	MA(0,d,2)
تتناقص بعد $Q_q$	صفرية بعد $P_q$	$Y_t = \theta_0 + e_t - \theta_1 e_{t-1} - \theta_2 e_{t-2} - \dots - \theta_q e_{t-q}$	MA(0,d,q)
تتناقص بعد $Q_1$	تتناقص هندسياً من $P_1$	$Y_t = e_t + \phi_0 + \phi_1 y_{t-1} + \theta_0 - \theta_1 e_{t-1}$	ARIMA(1,d,1)
صفرية بعد $Q_q$	تتناقص هندسياً من $P_p$	$Y_t = e_t + \phi_0 + \phi_1 y_{t-1} + \dots + \phi_p y_{t-p} + \theta_0 - \theta_1 e_{t-1} - \dots - \theta_q e_{t-q}$	ARIMA(p,d,q)

P معامل دالة الارتباط الذاتي Q معامل دالة الارتباط الذاتي الجزئي

المصدر: \*العاني، أحمد، 2003 - استخدام نماذج ARIMA في التنبؤ الاقتصادي. جامعة الأنبار، العراق.

\*\*محمد ،بدوي ،2004- تطبيقات نماذج بوكس جينكنز السنوية في التنبؤ دراسة حالة الجرائم المبلغة في السودان للفترة 1989-2012.

وإذا كانت دالة الارتباط الذاتي لا تتناقص بسرعة مع زيادة درجات الإبطاء فهذا يعني أن السلسلة الزمنية غير مستقرة ويجب العمل على تسكينها بإحدى الطرق التي تم ذكرها سابقاً، وبعدها يتم العودة لنفس الجدول السابق لاختيار النموذج الذي يعبر عن السلسلة المدروسة.

(3) ولكن عند وجود أكثر من نموذج مقبول وممثل للسلسلة الزمنية، عندها يصبح الاعتماد على دالتي ACF & PACF أمراً صعباً للغاية في اختيار النموذج الأفضل، لذلك لا بد من الاعتماد على مجموعة من المعايير الإحصائية التي تحدد النموذج الأفضل بشكل أدق وهي: (البياتي و المخلافي، 2007)

أ- معيار أكاكي AIC Akaika Information Criteria ويعرف بالعلاقة:

$$AIC(p) = \ln(\sigma^2) + \frac{2(p+q)}{n} \quad (13)$$

ب- معيار MAIC ويعرف كما يلي:

$$MAIC = \frac{AIC}{n} \quad (14)$$

ت- ومعيار شوارتز Schwarz Bayesian SBC ويساوي:

$$SBC = \log(\sigma^2) + \log(n) \frac{(p+q)}{n} \quad (15)$$

ث- والمعيار البيزي BIC (Karim,2010) ويحسب من العلاقة:

$$BIC = -2\log(\text{maximum likelihood}) + k \log(n) \quad (16)$$

حيث: n حجم السلسلة الزمنية.

k عدد معلمات النموذج، وتساوي p+q+1 .

ج- ومعيار MSE متوسط مربعات الأخطاء. (الناصر والحسان، 2010) ويساوي:

$$MSE = \frac{1}{n} \sum_{t=1}^n (y_t - \tilde{y})^2 = \frac{1}{n} \sum_{t=1}^n e_t^2 \quad (17)$$

ح- ومعيار RMSE الجذر التربيعي لمتوسط مربعات الأخطاء ويحسب من العلاقة:

$$RMSE = \sqrt{MSE} \quad (18)$$

خ- ومعيار MAE متوسط الخطأ المطلق (Amin,2014) ويساوي:

$$MAE = \frac{1}{n} \sum_{t=1}^n |y_t - \tilde{y}| = \frac{1}{n} \sum_{t=1}^n |e_t| \quad (19)$$

د- ومعيار MAPE متوسط الأخطاء النسبية المطلقة ويحسب من العلاقة

$$MAPE = \frac{1}{n} \sum_{t=1}^n \left| \frac{y_t - \tilde{y}}{y_t} \right| = \frac{1}{n} \sum_{t=1}^n \left| \frac{e_t}{y_t} \right| \quad (20)$$

ولاختيار النموذج الأفضل من بين النماذج المرشحة والخاضعة للمعايير السابقة نختار النموذج المقابل لأقل قيمة لأي من المعايير السابقة.

(4) مرحلة تقدير معاملات النموذج المختار باستخدام إحدى الطرائق المعروفة كطريقة المربعات الصغرى (OLS) التي تقوم على مبدأ تقليص مجموع مربعات أخطاء التقدير، أو طريقة العزوم (MM) التي تعتمد على الارتباط الذاتي للنموذج، أو طريقة الإمكان الأعظم (ML) والتي تعتمد على تعظيم الدالة لجعل مجموع مربعات الأخطاء أقل ما يمكن، (5) مرحلة فحص مدى صلاحية النموذج المختار وملائمته وذلك بإيجاد حدود الثقة لمعاملات الارتباط الذاتي للأخطاء Residuals، والتي يجب أن تقع بين الحدين  $(\pm 1.96/n^{1/2})$  باحتمال 0.95 وذلك للتأكد من عدم ارتباط هذه الأخطاء معنوياً.

أو باستخدام مجموعة من الاختبارات الاحصائية كاختبار Box-Pierce 1970، واختبار لانج بوكس-Ljung-Box 1978 لتحليل البواقي (نقار والعواد، 2011)، الذي يأخذ الصيغة الرياضية التالية:

$$Q_{(s)} = n(n+2) \sum_{k=1}^s \frac{r_k^2(e_t)}{n-k} \quad (21)$$

ويتبع هذا الاختبار لتوزيع كاي مربع  $\chi^2$  حيث  $\chi^2((s-m), \alpha)$  واختبار MAnti 1994 ،

وجميع هذه الاختبارات تتبع توزيع كاي مربع عند درجة حرية  $K-p-q$  حيث  $K$  عدد الإزاحات، فإذا كانت قيمة هذه الاختبارات أصغر من القيمة الجدولية لكاي مربع فإننا نفر بأن سلسلة البواقي هي سلسلة عشوائية مستقرة، وبالتالي يكون النموذج المرشح هو نموذج ملائم لتمثيل السلسلة الزمنية المدروسة.

(6) مرحلة التنبؤ بالقيم المستقبلية للسلسلة الزمنية لمعرفة سلوك السلسلة الزمنية في المستقبل، وذلك عن طريق إحلال القيم الحالية والماضية للمتغير التابع والبواقي كقيم تقديرية لحد الخطأ وذلك للتنبؤ بالقيمة المستقبلية الأولى (أي التنبؤ لفترة واحدة)، وللتنبؤ بالقيمة المستقبلية الثانية نقوم بإحلال القيمة المستقبلية الأولى في معادلة التنبؤ مع افتراض أن حد الخطأ خارج العينة للدالة يساوي الصفر، وهكذا وصولاً إلى الفترة المحددة المطلوب التنبؤ بها.

## النتائج والمناقشة:

اعتمد البحث على بيانات تم جمعها من الإدارة العامة للمصرف التجاري وهي عبارة عن انتاجية العامل الواحد في فرع جبلة عن تسعين يوم عمل متتال في عام 2017، بدءاً من يوم 2017/1/2، وقد تم حساب انتاجية العامل الواحد في الساعة الواحدة بشكل وسطي من خلال احصاء عدد العمليات المنفذة على برنامج الكاشير في الساعة الواحدة للعامل الواحد.

جدول (2) انتاجية العمل لفرع جبلة عن تسعين يوم عمل متتال

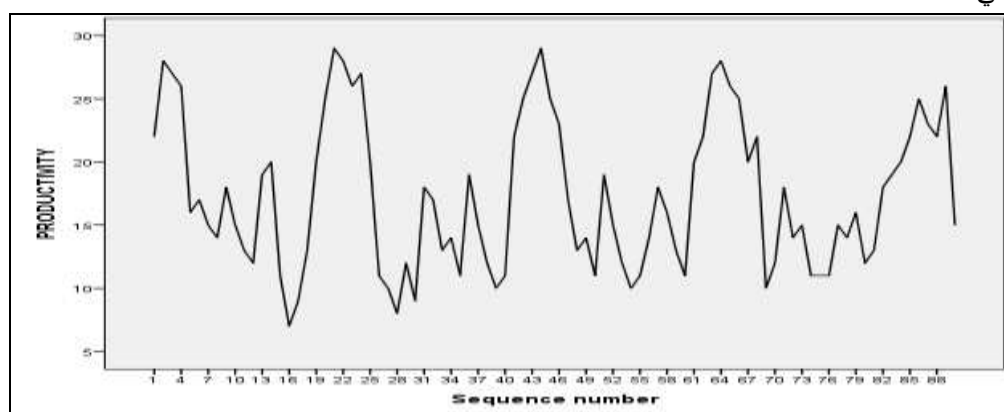
التسلسل	التاريخ	الانتاجية	التسلسل	التاريخ	الانتاجية	التسلسل	التاريخ	الانتاجية
1	02/01/2017	22	31	13/02/2017	18	61	27/03/2017	20
2	03/01/2017	28	32	14/02/2017	17	62	28/03/2017	22
3	04/01/2017	27	33	15/02/2017	13	63	29/03/2017	27
4	05/01/2017	26	34	16/02/2017	14	64	30/03/2017	28
5	08/01/2017	16	35	19/02/2017	11	65	02/04/2017	26
6	09/01/2017	17	36	20/02/2017	19	66	03/04/2017	25
7	10/01/2017	15	37	21/02/2017	15	67	04/04/2017	20

22	05/04/2017	68	12	22/02/2017	38	14	11/01/2017	8
10	06/04/2017	69	10	23/02/2017	39	18	12/01/2017	9
12	09/04/2017	70	11	26/02/2017	40	15	15/01/2017	10
18	10/04/2017	71	22	27/02/2017	41	13	16/01/2017	11
14	11/04/2017	72	25	28/02/2017	42	12	17/01/2017	12
15	12/04/2017	73	27	01/03/2017	43	19	18/01/2017	13
11	13/04/2017	74	29	02/03/2017	44	20	19/01/2017	14
11	16/04/2017	75	25	05/03/2017	45	11	22/01/2017	15
11	17/04/2017	76	23	06/03/2017	46	7	23/01/2017	16
15	18/04/2017	77	17	07/03/2017	47	9	24/01/2017	17
14	19/04/2017	78	13	08/03/2017	48	13	25/01/2017	18
16	20/04/2017	79	14	09/03/2017	49	20	26/01/2017	19
12	23/04/2017	80	11	12/03/2017	50	25	29/01/2017	20
13	24/04/2017	81	19	13/03/2017	51	29	30/01/2017	21
18	25/04/2017	82	15	14/03/2017	52	28	31/01/2017	22
19	26/04/2017	83	12	15/03/2017	53	26	01/02/2017	23
20	27/04/2017	84	10	16/03/2017	54	27	02/02/2017	24
22	30/04/2017	85	11	19/03/2017	55	20	05/02/2017	25
25	01/05/2017	86	14	20/03/2017	56	11	06/02/2017	26
23	02/05/2017	87	18	21/03/2017	57	10	07/02/2017	27
22	03/05/2017	88	16	22/03/2017	58	8	08/02/2017	28
26	04/05/2017	89	13	23/03/2017	59	12	09/02/2017	29
15	07/05/2017	90	11	26/03/2017	60	9	12/02/2017	30

المصدر: المصرف التجاري السوري -بيانات من الإدارة العامة تخص فرع جبلة.

وبعد معالجة بيانات الجدول السابق باستخدام البرنامج الاحصائي spss20 وتمثيلها بالشكل البياني تبين لنا

الشكل التالي.

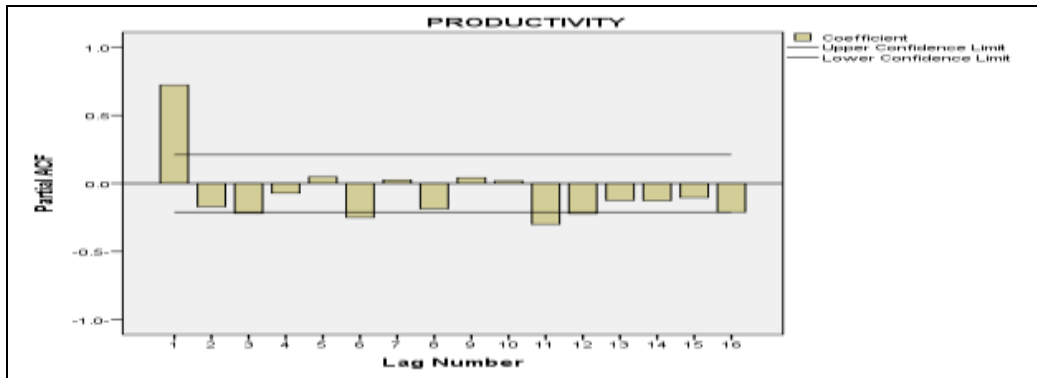
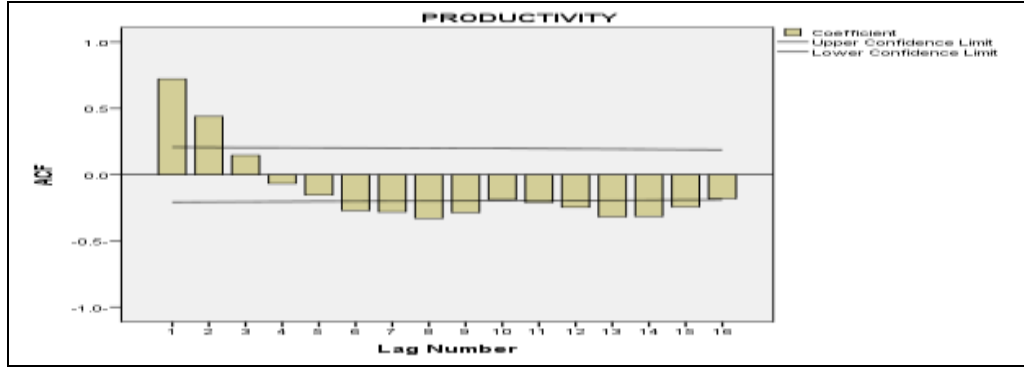


الشكل (1) شكل السلسلة الزمنية لإنتاجية العمل في فرع جبلة للمصرف التجاري السوري

المصدر: من اعداد الباحثة باستخدام بيانات الجدول (2)

نلاحظ من الرسم البياني السابق أن السلسلة لا تنتشر بشكل مستقر وللتأكد من ذلك نرسم دالتي الارتباط الذاتي

والارتباط الذاتي الجزئي كما يلي:



الشكل (2) الشكل البياني لدالة الارتباط الذاتي ACF ودالة الارتباط الذاتي الجزئي PACF

المصدر من اعداد الباحثة بالاعتماد على بيانات الجدول (2)

من الشكل السابق نجد أن بعض معاملات الارتباط الذاتي تقع خارج حدود فترة الثقة 95% كما هو موضح بالشكل (2) وبالتالي فإن السلسلة غير مستقرة، ولاختبار معنوية معامل الارتباط الذاتي ومعامل الارتباط الذاتي الجزئي نستخدم اختبار Ljung-Box الذي يقدمه برنامج Eviews فنحصل على ما يلي:

جدول (3) يبين اختبار Q

خطوات الابطاء	AC	PAC	Q-Stat	Prob
1	0.722	0.722	48.526	0.000
2	0.440	-0.172	66.703	0.000
3	0.146	-0.221	68.718	0.000
4	-0.067	-0.072	69.149	0.000
5	-0.153	0.047	71.440	0.000
6	-0.271	-0.250	78.673	0.000
7	-0.281	0.026	86.563	0.000
8	-0.330	-0.186	97.530	0.000
9	-0.287	0.041	105.92	0.000
10	-0.189	0.018	109.61	0.000
11	-0.210	-0.300	114.22	0.000
12	-0.247	-0.222	120.69	0.000
13	-0.318	-0.124	131.55	0.000
14	-0.315	-0.127	142.36	0.000
15	-0.243	-0.104	148.89	0.000

المصدر: من اعداد الباحثة بالاعتماد على بيانات الجدول (2)

من الجدول السابق نجد أن القيمة المحسوبة لاختبار Q بتأخر 15 تساوي 148.89، وهي أكبر من القيمة الجدولية لكاي مربع عند التأخير 15 ومستوى دلالة 0.05 والتي تساوي  $\chi^2_{0.05,15} = 25$  وبالتالي نرفض فرضية العدم التي تقول بأن السلسلة مستقرة، ونقبل الفرضية البديلة التي تقول بأن السلسلة غير مستقرة، ولكي نجعل السلسلة مستقرة سنقوم بأخذ الفروق من الدرجة الأولى.

ويمكن التأكد من ذلك دون العودة إلى جداول كاي مربع وذلك من خلال النظر إلى العمود الأخير في الجدول السابق حيث نجد أن قيمة Q غير معنوية من الناحية الاحصائية لأن احتمال المعنوية ضئيل جداً ويساوي 0.000 وبالتالي معامل الارتباط الذاتي ومعامل الارتباط الذاتي الجزئي غير معنوي.

كما أنه من الممكن الاستعانة بمجموعة كبيرة من الاختبارات للتأكد من عدم استقرار السلسلة نذكر منها

ADF, DF, PP, KPSS، التي يوضحها الجدول التالي:

جدول (4) اختبارات للتأكد من سكون واستقرار السلسلة

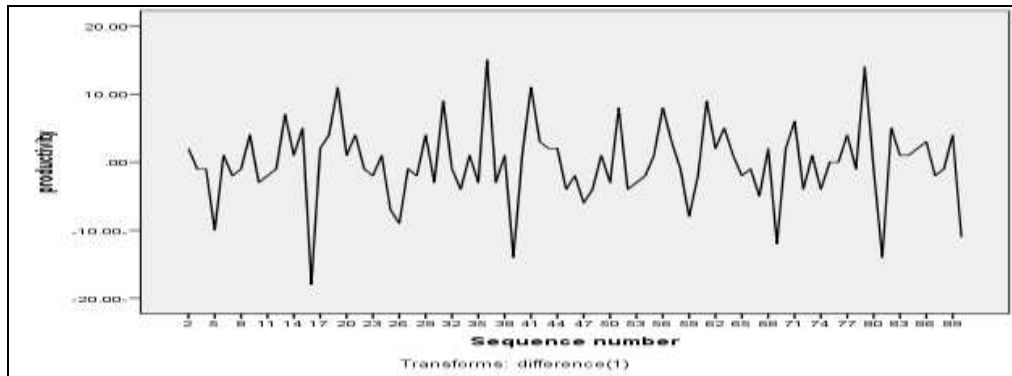
DF اختبار ديكي فولر العادي				
وضع السلسلة	المقارنة بين القيمة المحسوبة والقيمة الجدولية	القيمة المحسوبة	القيمة الجدولية للاختبار /n=90 / $0.05=\alpha$	
مستقرة	4.76<-3.45-	-4.76	-3.45	مع ثابت ومتجه زمني
مستقرة	4.78<-2.89-	-4.78	-2.89	مع ثابت وبدون متجه زمني
غير مستقرة	1.6->1.95-	-1.6	-1.95	بدون ثابت وبدون متجه زمني
ADF اختبار ديكي فولر المعدل لماكينون				
وضع السلسلة	نقارن قيمة prob الاختبار مع %5	Prob	t-statistic	
مستقرة	0.05>0.0011	0.0011	-4.76	مع ثابت ومتجه زمني
مستقرة	0.05>0.0001	0.0001	-4.78	مع ثابت وبدون متجه زمني
غير مستقرة	0.05<0.104	0.104	-1.59	بدون ثابت وبدون متجه زمني
PP اختبار فيليب بيرون				
وضع السلسلة	نقارن قيمة prob الاختبار مع %5	الاحتمالات Prob الحرجة	adj.t-stat	
مستقرة	0.05>0.002	0.0027	4.493	مع ثابت ومتجه زمني
مستقرة	0.05>0.0004	0.0004	4.531	مع ثابت وبدون متجه زمني
غير مستقرة	0.05<0.1733	0.1733	1.314	بدون ثابت وبدون متجه زمني
اختبار kpss				
وضع السلسلة	نقارن قيمة LM-	LM- stat		

	stat للاختبار مع 5%		
مستقرة	$0.05 > 0.0428$	0.0428	مع ثابت وبدون متجه زمني
مستقرة	$0.05 > 0.0427$	0.0427	مع ثابت ومتجه زمني

المصدر: من إعداد الباحثة بالاعتماد على بيانات الجدول (2)

لمعالجة هذه السلسلة وجعلها مستقرة نقوم بإجراء الفروق لخطوة واحدة  $D=1$  فيصبح شكل انتشار السلسلة كما يلي:

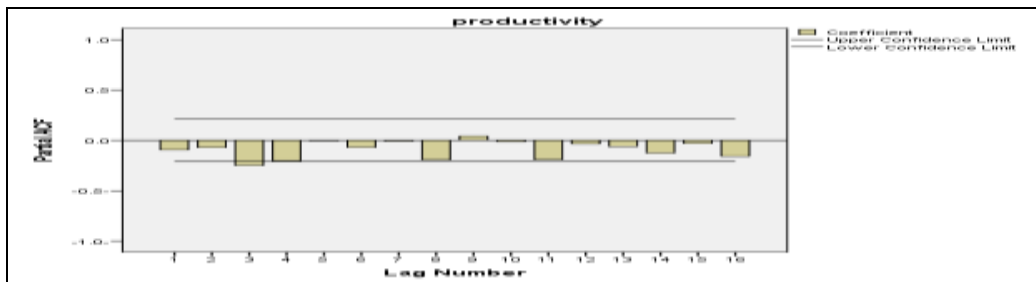
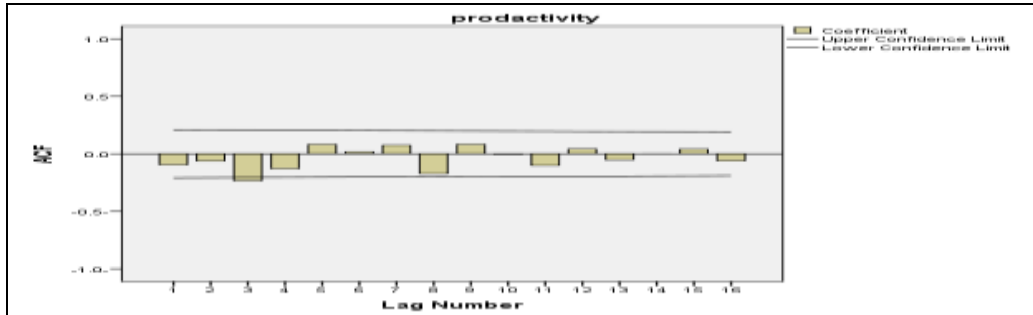
الشكل (3) شكل السلسلة الزمنية بعد الفروق لمرة واحدة



المصدر: من إعداد الباحثة بالاعتماد على بيانات الجدول (2)

ويكون شكل دالتي ACF&PACF بعد إجراء الفروق لمرة واحدة كما يلي:

الشكل (4) دالتي الارتباط الذاتي والارتباط الذاتي الجزئي بعد أخذ الفروق لمرة واحدة



المصدر: من إعداد الباحثة بالاعتماد على بيانات الجدول (2)

من الشكل السابق نجد أن معاملات الارتباط الذاتي أصبحت تقع ضمن حدي الثقة، وبالتالي نستطيع القول أن السلسلة أصبحت مستقرة بعد أخذ الفرق الأول، وبالتالي نقبل فرضية العدم التي تقول بأن السلسلة مستقرة ونقبل باستقرار السلسلة، وللتأكد من ذلك نعود ونجري نفس الاختبارات على البواقي فنحصل على مايلي:

جدول ( 5 ) يبين اختبار Q بعد أخذ الفرق الأول

خطوات الابطاء	AC	PAC	Q-Stat	Prob
1	0.008	0.008	0.0058	0.939
2	0.018	0.018	0.0347	0.983
3	0.145-	0.146-	2.0221	0.568
4	0.201-	0.203-	5.8560	0.210
5	0.050	0.057	6.1001	0.297
6	0.193-	0.219-	9.7458	0.136
7	0.071	0.011	10.244	0.175
8	0.179-	0.225-	13.453	0.097
9	0.099-	0.165-	14.448	0.107
10	0.221	0.162	19.458	0.035
11	0.038	0.002-	19.609	0.051
12	0.039	0.149-	19.773	0.072
13	0.136-	0.115-	21.733	0.060
14	0.108-	0.132-	23.000	0.060
15	0.027	0.034-	23.081	0.082

المصدر: من إعداد الباحثة بالاعتماد على بيانات الجدول (2)

من الجدول السابق نجد أن القيمة المحسوبة لاختبار Q stat بتأخر 15 أصبحت تساوي 23.081، وهي أصغر من القيمة الجدولية لكاي مربع عند التأخير 15 ومستوى دلالة 0.05 والتي تساوي  $\chi^2_{0.05,15} = 25$  وبالتالي فإن السلسلة أصبحت مستقرة.

وبالاعتماد على شكل دالتي PACFACF يمكننا ترشيح عدة نماذج تعبر عن السلسلة الزمنية، وهي كالاتي: ARIMA(1,1,0), ARIMA(1,1,1), ARIMA(0,1,1), ARIMA(2,1,0), ARIMA(0,1,2), ARIMA(1,1,2), ARIMA(2,1,1), ARIMA(2,1,2) للمفاضلة بين النماذج المرشحة نعلم على الاختبارات التالية:

جدول ( 6 ) اختبارات النماذج المقترحة

النموذج ARIMA(1,1,0)					
Normalized BIC	MAE	MAPE	RMSE	R-squared	Stationary R-squared
3.631	3.721	22.990	5.281	.328	.295

ARIMA(0,1,1)					
Normalized BIC	MAE	MAPE	RMSE	R-squared	Stationary R-squared
3.624	3.717	23.022	5.264	.332	.297
النموذج ARIMA(1,1,1)					
Normalized BIC	MAE	MAPE	RMSE	R-squared	Stationary R-squared
3.427	3.885	25.124	5.015	.379	.319
النموذج ARIMA(2,1,0)					
Normalized BIC	MAE	MAPE	RMSE	R-squared	Stationary R-squared
3.678	3.963	24.906	5.546	.250	.203
النموذج ARIMA(0,1,2)					
Normalized BIC	MAE	MAPE	RMSE	R-squared	Stationary R-squared
3.560	4.452	28.526	5.361	.291	.247
النموذج ARIMA(1,1,2)					
Normalized BIC	MAE	MAPE	RMSE	R-squared	Stationary R-squared
3.480	3.877	24.976	5.022	.385	.327
النموذج ARIMA(2,1,1)					
Normalized BIC	MAE	MAPE	RMSE	R-squared	Stationary R-squared
3.474	3.869	24.867	5.007	.389	.332
النموذج ARIMA(2,1,2)					
Normalized BIC	MAE	MAPE	RMSE	R-squared	Stationary R-squared
3.544	3.847	24.933	5.056	.384	.324

المصدر: من إعداد الباحثة بالاعتماد على بيانات الجدول (2)

بالاعتماد على المعيار MAE نقوم ونبحث عن أصغر قيمة لهذا الاختبار في الجدول السابق فنجد أنها 3.717 لذلك نختار النموذج ARIMA(0,1,1) المقابل لتلك القيمة.

وبالاعتماد على المعيار MAPE نبحث عن أصغر قيمة له في الجدول السابق فنجد أنها 22.990 لذلك نختار النموذج ARIMA(1,1,0) المقابل لتلك القيمة.

أما بالاعتماد على المعيار RMSE نبحث عن أصغر قيمة له في الجدول السابق فنجد أنها 5.007 لذلك نختار النموذج ARIMA(2,1,1) المقابل لتلك القيمة.

وبالاعتماد على المعيار BIC نبحث عن أصغر قيمة له في الجدول السابق فنجد أنها 3.427 لذلك نختار النموذج ARIMA(1,1,1) المقابل لتلك القيمة ونعتبره النموذج الأفضل، وللتأكد من ملائمة النموذج ARIMA(1,1,1) المقابل لهذا المعيار نستخدم إحصائية Ljung-Box كما هو وارد في الجدول التالي:

جدول (7) اختبار معنوية النموذج المختار

Number of Outliers	Ljung-Box Q(18)		
	Sig.	DF	Statistics
1	.144	16	21.987

المصدر : من اعداد الباحثة بالاعتماد على بيانات الجدول(2)

نجد أن قيمة اختبار Ljung-Box تساوي 21.987 وهي قيمة أصغر من القيمة الجدولية لكاي مربع عند 16 درجة حرية والتي تساوي 26.30 وبالتالي نقبل فرضية العدم التي تقول أن معالم النموذج معنوية، وبالتالي النموذج ARIMA(1,1,1) يمثل السلسلة الزمنية الأخيرة المستقرة بشكل جيد، كما نجد أن قيمة sig=0.144 وهي قيمة أكبر من 0.05 وهذا يدل على عدم وجود ارتباط بين البواقي وبالتالي فإن النموذج المرشح معنوي ويصلح للتنبؤ. أما معاملات النموذج المختار فهي كما هو مبين في الجدول التالي:

جدول (8) معاملات النموذج المختار

ARIMA Model Parameters(1,1,1)						
			Estimate	SE	T	Sig.
انتاجية العمل	Natural Log	Constant	-.001	.004	-.293	.770
		AR Lag 1	.606	.089	6.842	.000
		Difference	1			
		MA Lag 1	.995	.091	10.943	.000

المصدر: من اعداد الباحثة بالاعتماد على بيانات الجدول(2)

من الجدول السابق نجد أن معاملات النموذج معنوية لأن قيمة sig المقابلة لمعاملات النموذج تساوي 0.000 وهي أصغر من 0.05 .

ويمكننا كتابة الشكل النهائي للنموذج الممثل لسلسلة إنتاجية العمل في فرع جبلة كما يلي:

$$Y_t = -0.001 + e_t + 0.606y_{t-1} - 0.995e_{t-1} \quad (22)$$

ومن معادلة النموذج المختار يمكن التنبؤ بالقيم المستقبلية لإنتاجية العمل لـ 30 يوماً قادمًا كما يلي:

الجدول (9) القيم المتوقعة لإنتاجية العمل عن ثلاثين يوم عمل قادم

PRODUCTIVITY-Model_1			Model	PRODUCTIVITY-Model_1			Model
LCL	UCL	Forecast		LCL	UCL	Forecast	
3	30	16	106	7	24	15	91
3	30	16	107	5	26	16	92
3	30	16	108	4	28	16	93
3	29	16	109	4	28	16	94
3	29	16	110	4	29	16	95
3	29	16	111	3	29	16	96
3	29	16	112	3	29	16	97
3	29	16	113	3	29	16	98
3	29	16	114	3	29	16	99

3	29	16	115	3	29	16	100
3	29	16	116	3	30	16	101
3	29	16	117	3	30	16	102
3	29	16	118	3	30	16	103
3	29	16	119	3	30	16	104
3	29	16	120	3	30	16	105

المصدر: من اعداد الباحثة بالاعتماد على بيانات الجدول (2)

يوضح الجدول السابق انتاجية العمل عن ثلاثين يوم عمل قادم، ونكون واثقين بنسبة 95% أن جميع القيم المتنبئ بها حتى اليوم 120 تكون محصورة بين الحدين الأدنى والأعلى، بمعنى أن احتمال وقوع القيم خارج حدود الثقة هو 5% وذلك باستخدام النموذج ARIMA (1,1,1).

### الاستنتاجات والتوصيات:

#### أ- الاستنتاجات

- 1) التنبؤ بإنتاجية العمل في المصرف التجاري السوري غير مدرج ضمن خطة العمل (إن وجدت)، ولا يعتمد على أي أسلوب احصائي حديث كان أو قديم.
- 2) السلسلة الزمنية المعبرة عن انتاجية العمل في فرع جبلة للمصرف التجاري السوري هي سلسلة غير مستقرة وقد تأكد عدم استقرارها من خلال اختبارات جذر الوحدة DF,ADF,PP,KPSS
- 3) تم أخذ الفرق الأول للسلسلة من خلال درجة إبطاء واحدة فوجدنا أن السلسلة الزمنية أصبحت مستقرة.
- 4) يعتبر النموذج ARIMA(1,1,1) أفضل نموذج يمثل السلسلة الزمنية وذلك من خلال مجموعة من المؤشرات الاحصائية التي تم اعتماد معيار BIC من بينها حيث بلغ هذا المعيار أقل قيمة له عند هذا النموذج، ويعتبر هذا النموذج معنوي من خلال قيمة Ljung-Box.
- 5) بالاعتماد على النموذج ARIMA(1,1,1) تم التنبؤ بإنتاجية العمل لثلاثين يوم عمل قادم بناءً على بيانات تسعين يوم عمل، وقد تراوحت انتاجية العمل المقدر بين 15- 16 عملية بالساعة للعامل الواحد.

#### ب- التوصيات

- 1) بعد النتائج التي تم التوصل إليها نوصي بما يلي:  
 (1) أن تقوم الجهات المختصة في المصرف التجاري السوري باستخدام النموذج المقترح للتنبؤ بإنتاجية العمل، والاستفادة من ذلك في وضع الخطط المناسبة للعمل على زيادة انتاجية العمل في الأعوام القادمة.
- (2) العمل على تلافي الأسباب التي تجعل السلسلة غير مستقرة قدر المستطاع بحيث تصبح انتاجية العمل في جميع أيام العمل متقاربة، كأن يتم تحديد زمن محدد لأداء أي خدمة في المصرف، والعمل على تلافي الأسباب التي تزيد زمن تقديم الخدمة كجاهزية شبكة الاتصال، وتوفر التيار الكهربائي والوسائل البديلة في حال انقطاعه كالمولدات الكهربائية.
- (3) الاهتمام بالاقتصاد القياسي، والعمل على إنشاء قاعدة بيانات خاصة بإنتاجية العمل متاحة للباحثين في مجال العمل المصرفي.

## المراجع:

- 1) أحمد، أبوزر؛ يونس، عادل. استخدام السلاسل الزمنية للتنبؤ بإنتاجية الصمغ العربي في سوق محاصيل الأبييض للفترة (1960-2012). مجلة البحث العلمي للعلوم والآداب، السودان، العدد 15، 2004، 211-238.
- 2) البياتي، عصام؛ المخلافي، فؤاد. استخدام أسلوب بوكس-جينكنز للتنبؤ بإنتاجية العمل في مصنع اسمنت سمران في القطاع الصناعي اليمني. مجلة الإدارة والاقتصاد، اليمن، العدد 63، 2007، 25-48.
- 3) التلباني، شادي. استخدام منهجية بوكس-جينكنز للتنبؤ بإنتاج القمح دراسة حالة الصين. مجلة جامعة الأزهر، غزة، فلسطين، العدد 17، 2015، 147-160.
- 4) طعمه، سعدية. استخدام تحليل السلاسل الزمنية للتنبؤ بأعداد المصابين بالأورام الخبيثة في محافظة الأنبار. مجلة جامعة الأنبار للعلوم الاقتصادية والإدارية، العراق، المجلد 4، العدد 8، 2012، 371-393.
- 5) العاني، أحمد. استخدام نماذج *ARIMA* في التنبؤ الاقتصادي. جامعة الأنبار، العراق، 2003، 1-11.
- 6) العشعوش، أيمن. العرييد، عدنان. الاقتصاد القياسي. جامعة تشرين، سوريا، 2015
- 7) محمد، بدوي. تطبيقات نماذج بوكس جينكنز السنوية في التنبؤ دراسة حالة الجرائم المبلغة في السودان للفترة 1989-2012. السودان، 2004، 1-26.
- 8) الناصر، خديجة؛ الحسان، أحمد. استخدام نماذج بوكس-جينكنز للتنبؤ بكميات الإشعاع الشمسي في العراق للمدة (1996-2018) دراسة تطبيقية محوسبة. مجلة البحوث الجغرافية، العدد 18، العراق، 2010، 217-245.
- 9) نقار، عثمان؛ العواد، منذر. منهجية *Box-Jenkins* في تحليل السلاسل الزمنية والتنبؤ دراسة تطبيقية على أعداد تلاميذ الصف الأول من التعليم الأساسي في سورية. مجلة جامعة دمشق للعلوم الاقتصادية والقانونية، مجلد 27، العدد الثالث، دمشق، 2011، 125-152.
- 10) AMIN, M; AMANULLAH, M; and AKBAR, A. "time series modeling for forecasting wheat production of Pakistan". The Journal of Animal & Plant Sciences, 24(5), Pakistan, 2014.
- 11) KARIM, R; AWAL, A; and AKTER, M. "forecasting of wheat production in Bangladesh". Bangladesh Journal Agricultural Researches, 35(1), Bangladesh, 2010.